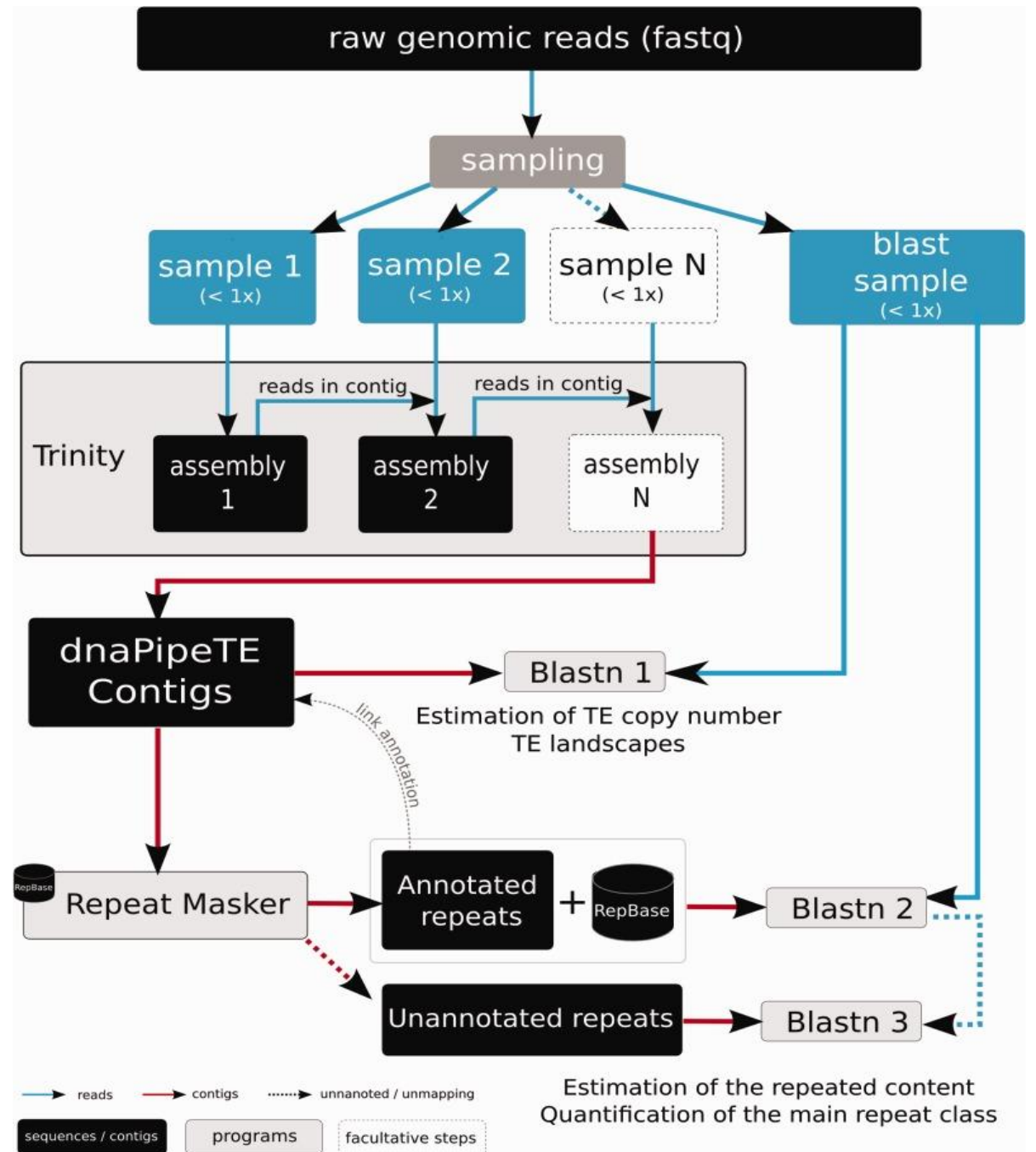


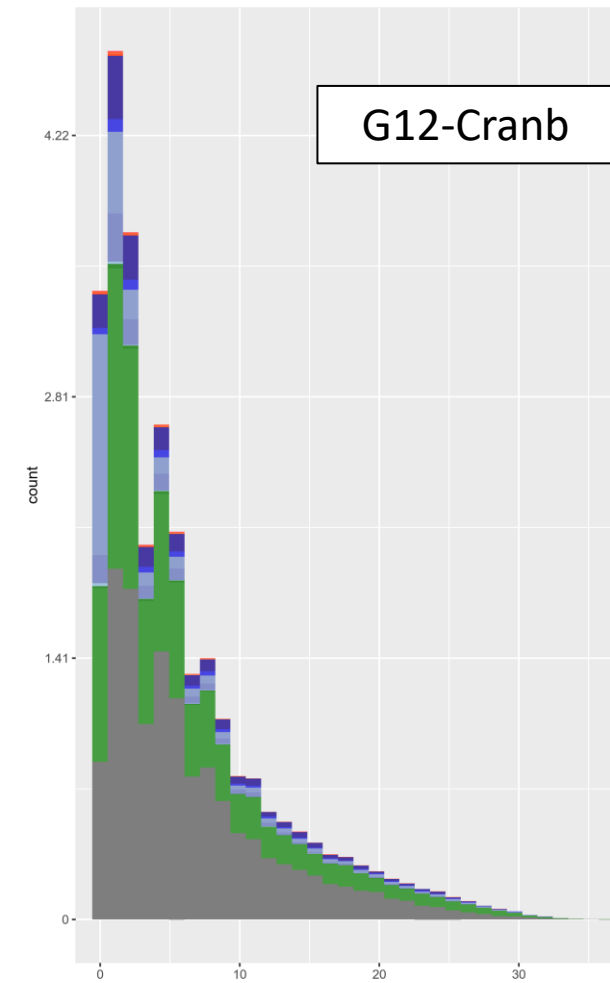
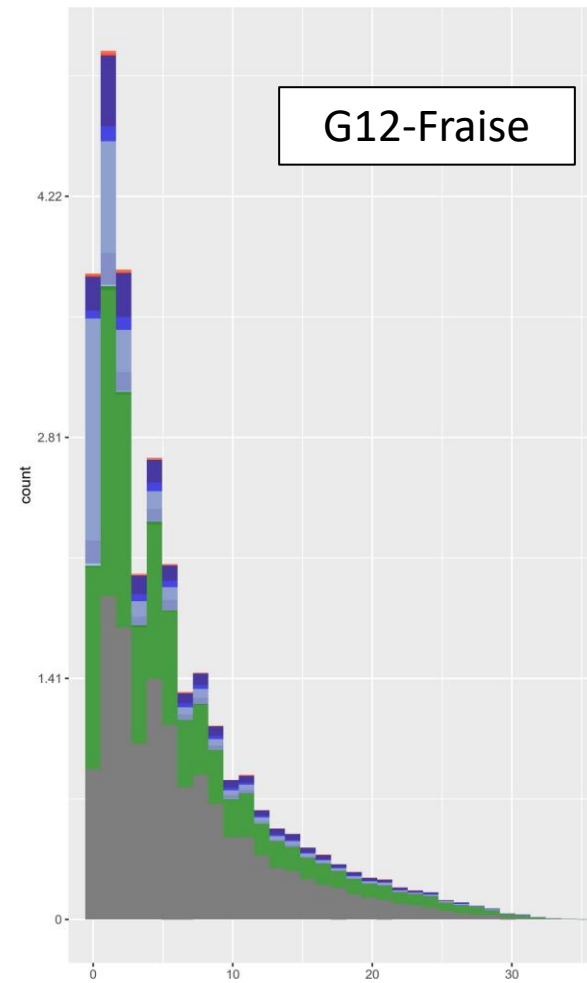
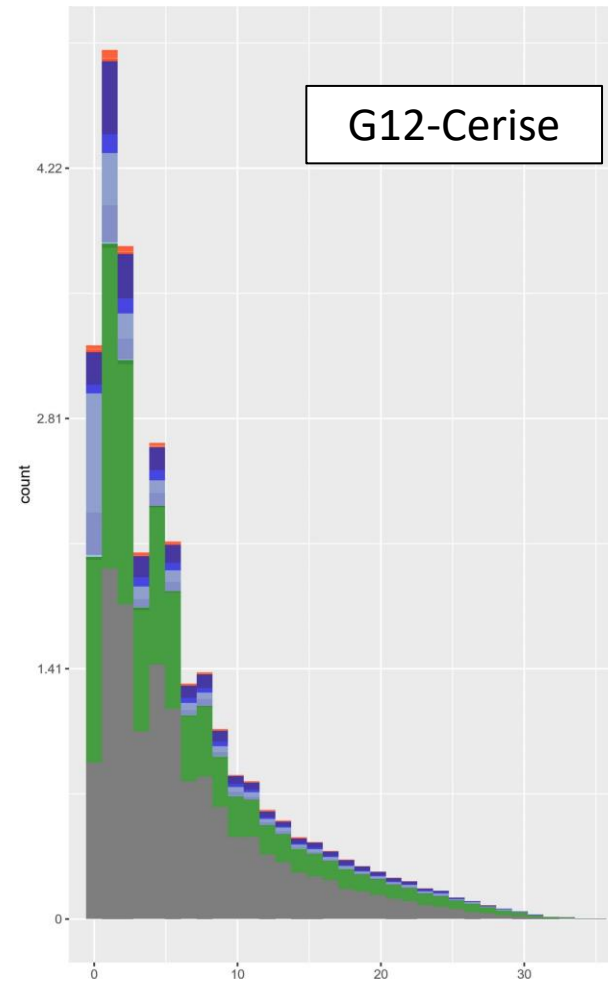
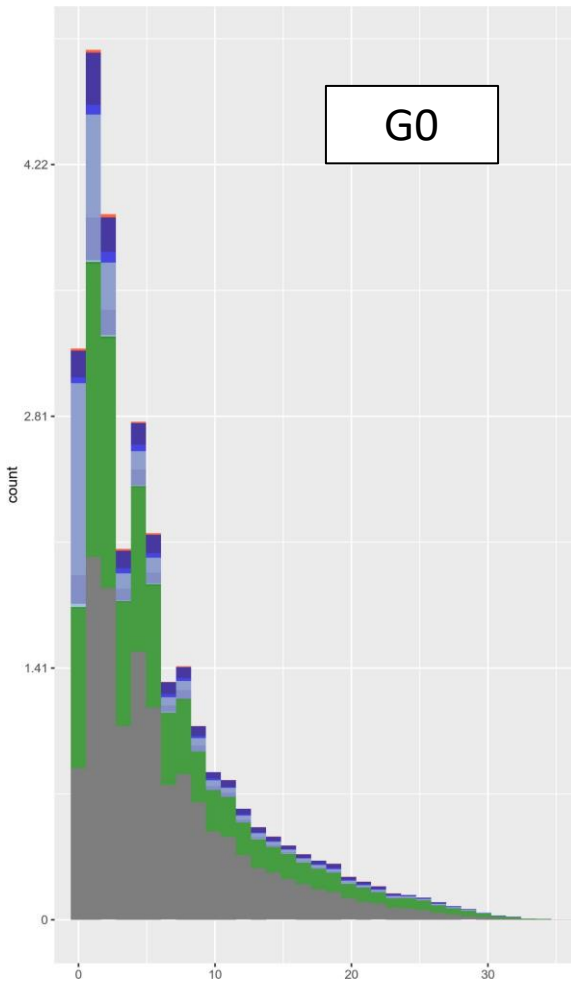
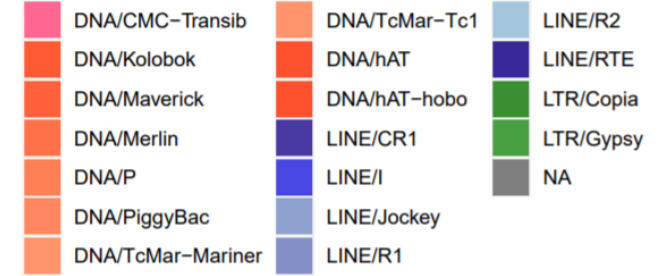
# DnaPipeTE

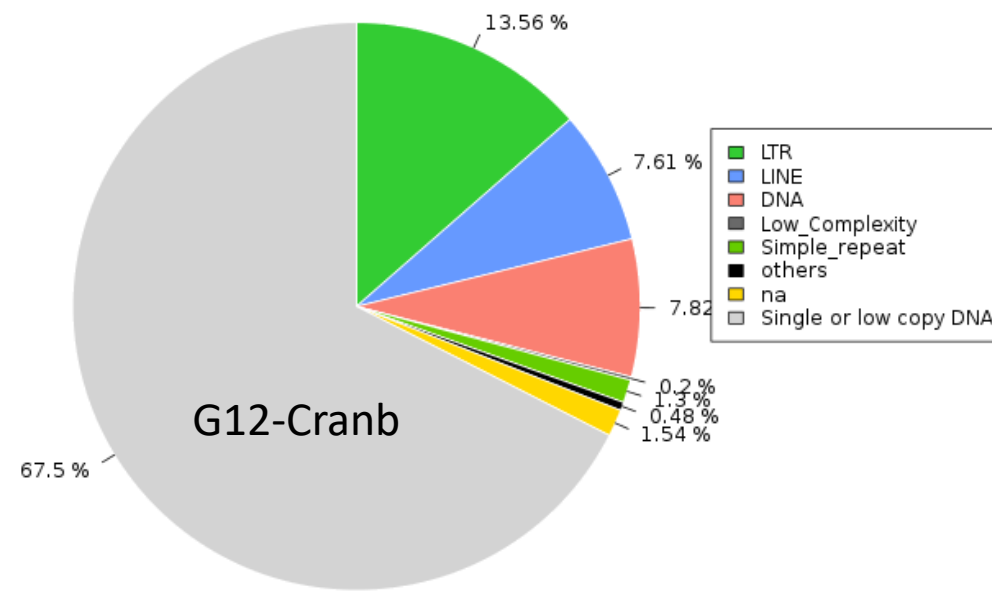
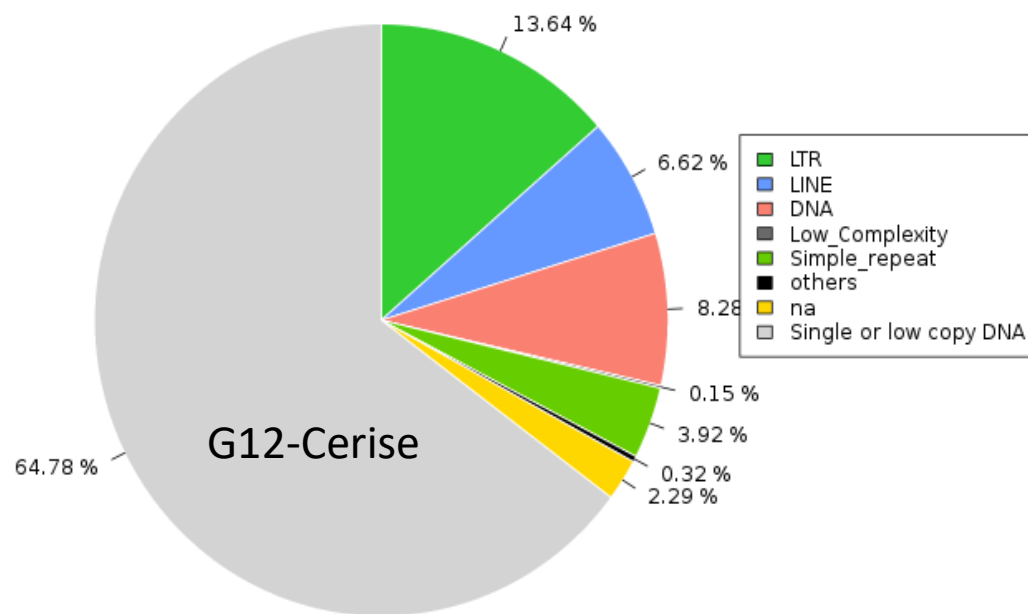
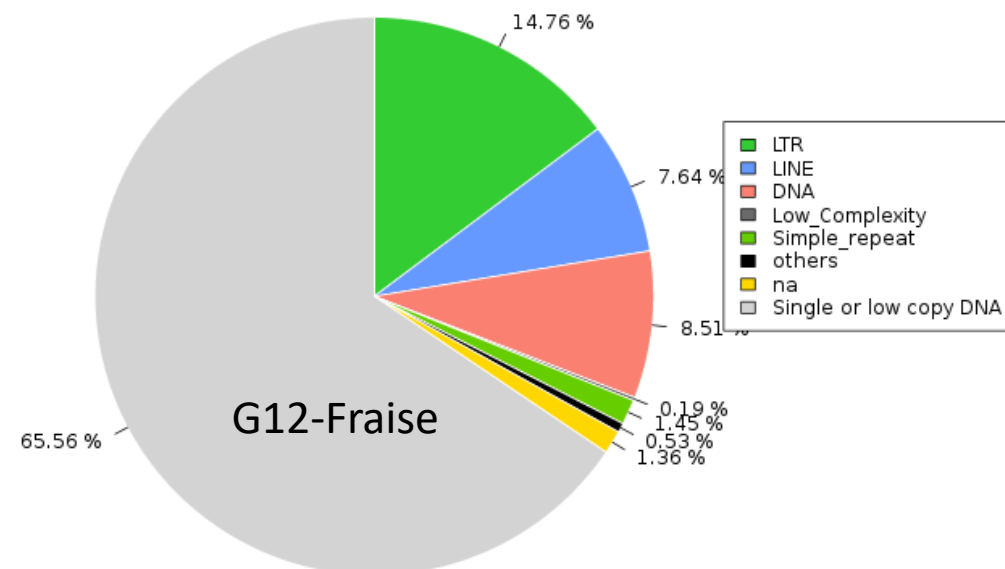
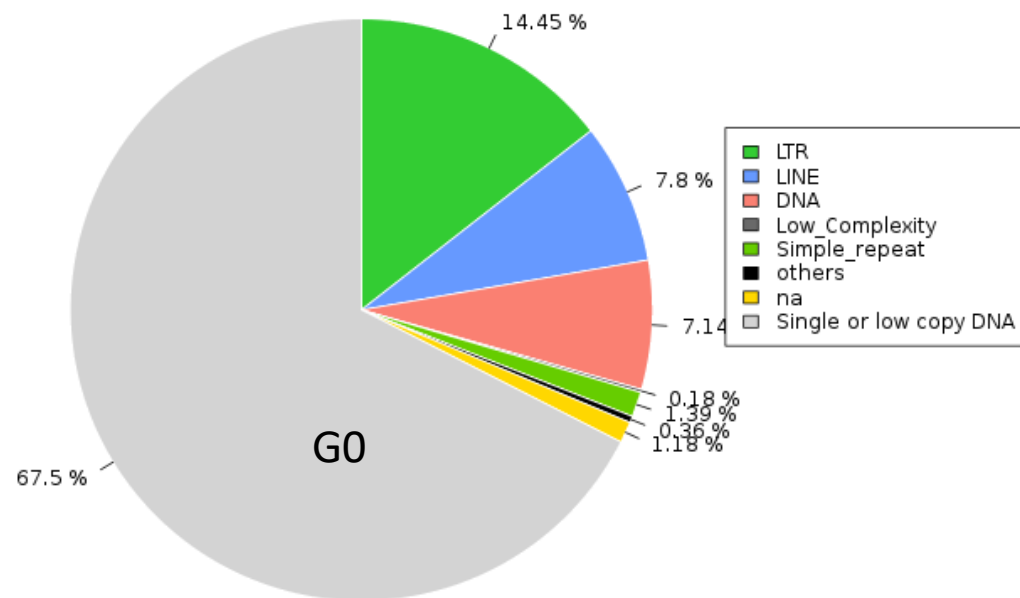


Goubert C, Modolo L, Vieira C, ValienteMoro C, Mavingui P, Boulesteix M. doi:10.1093/gbe/evv050

# Landscapes

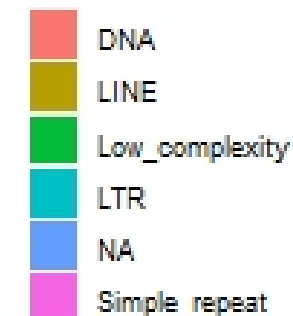
fam1



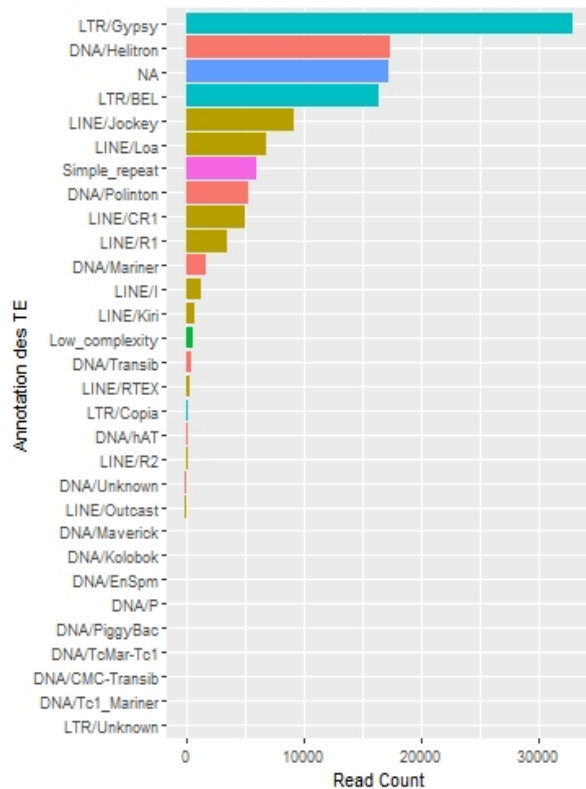


# Familles

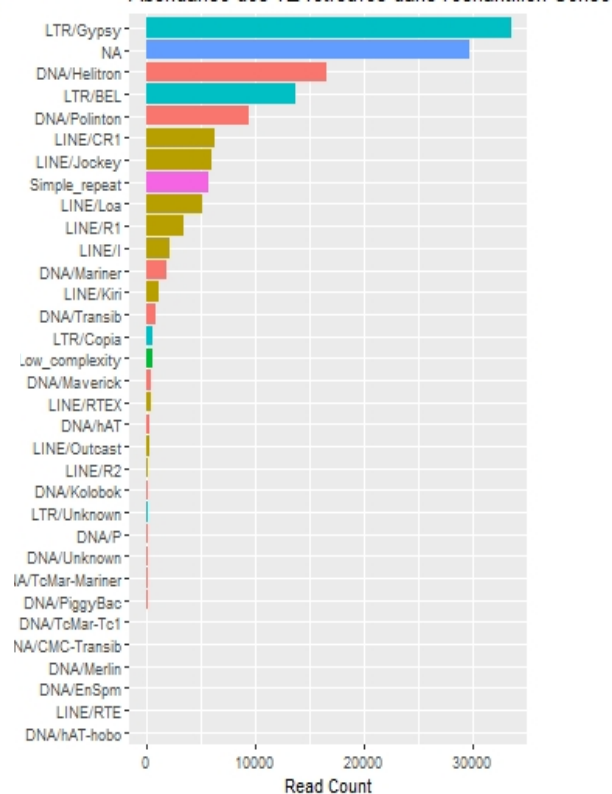
Famille\_TE



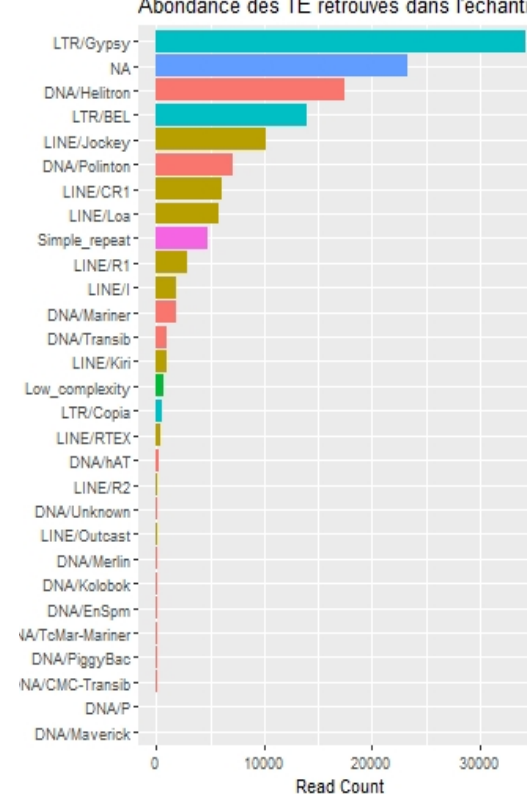
Abondance des TE retrouvés dans l'échantillon G0



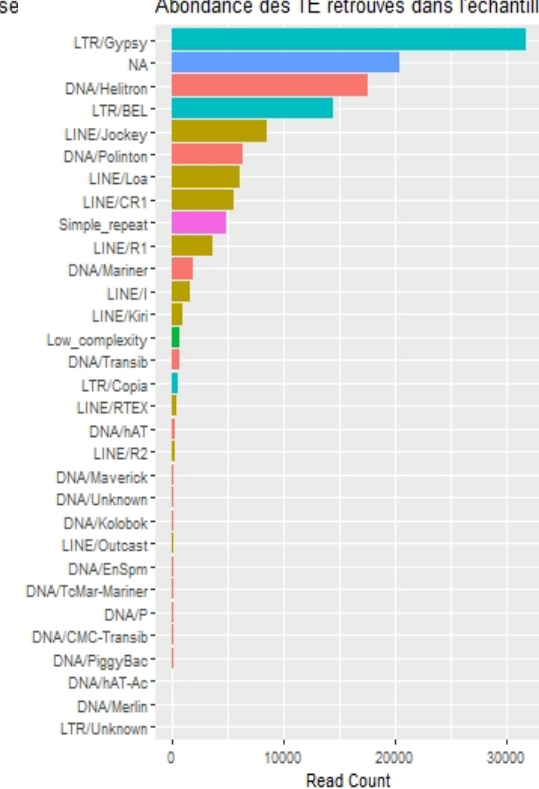
Abondance des TE retrouvés dans l'échantillon Cerise



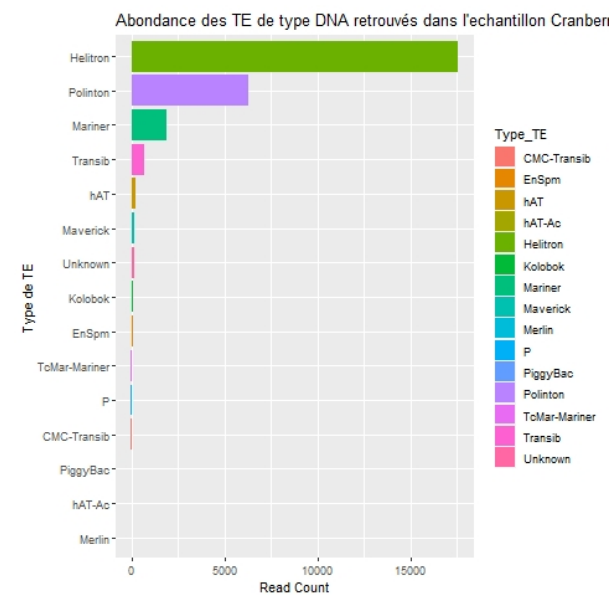
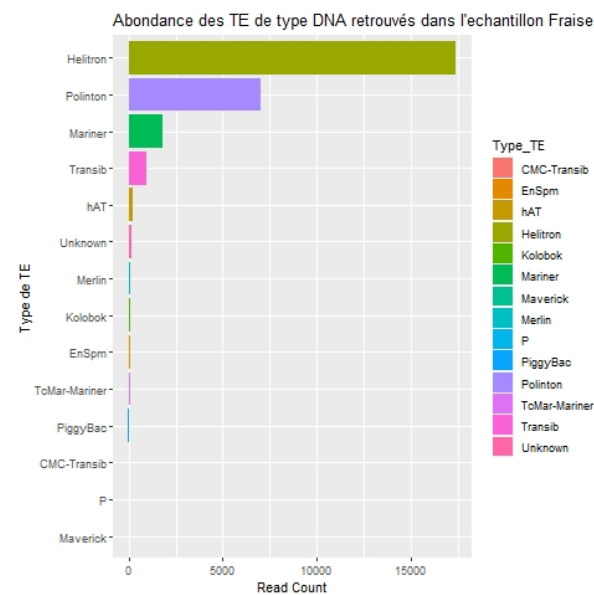
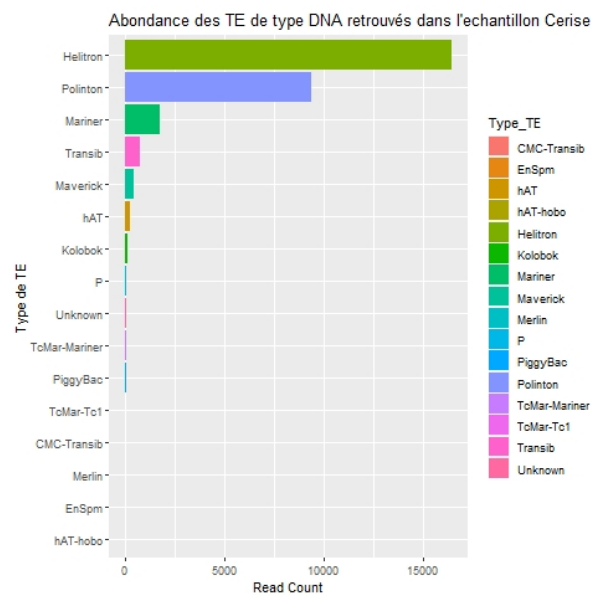
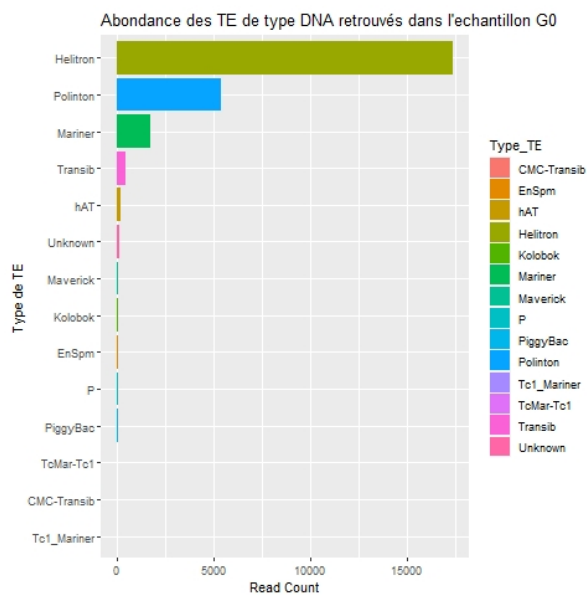
Abondance des TE retrouvés dans l'échantillon Fraise



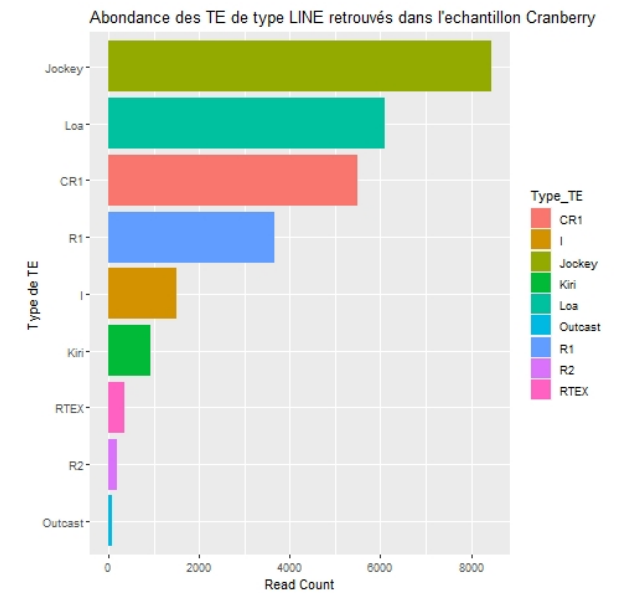
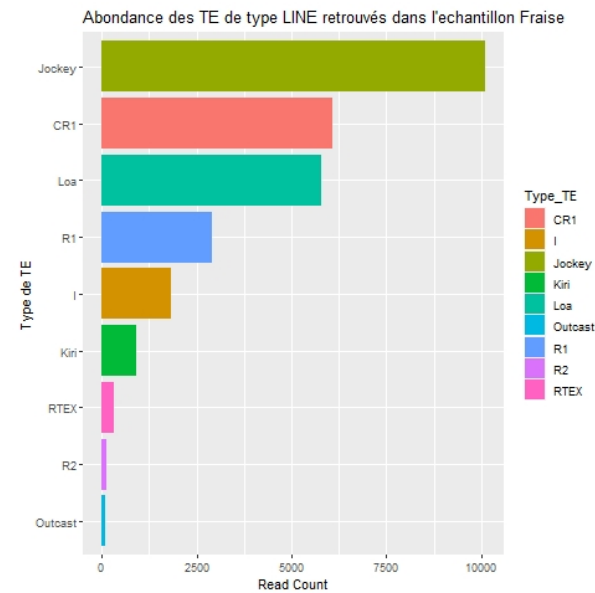
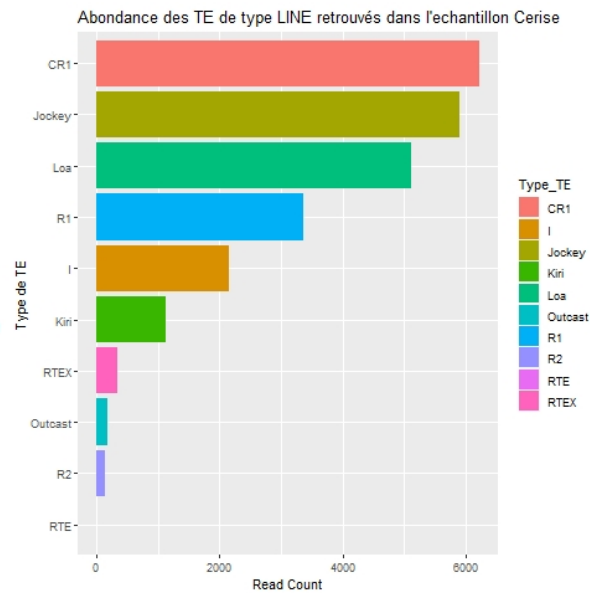
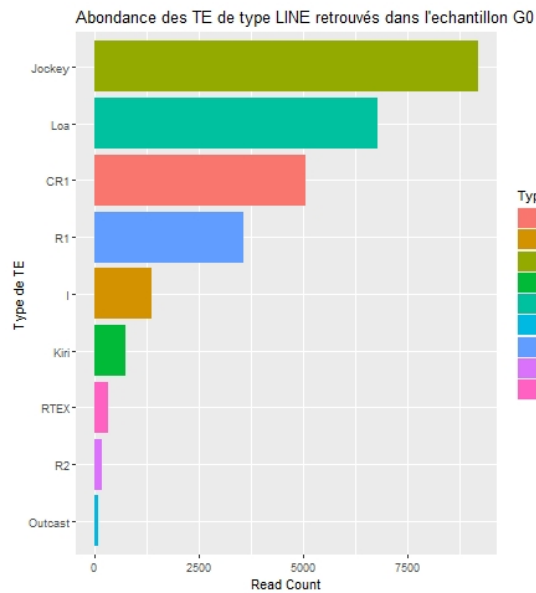
Abondance des TE retrouvés dans l'échantillon Cranberry



# DNA TE family



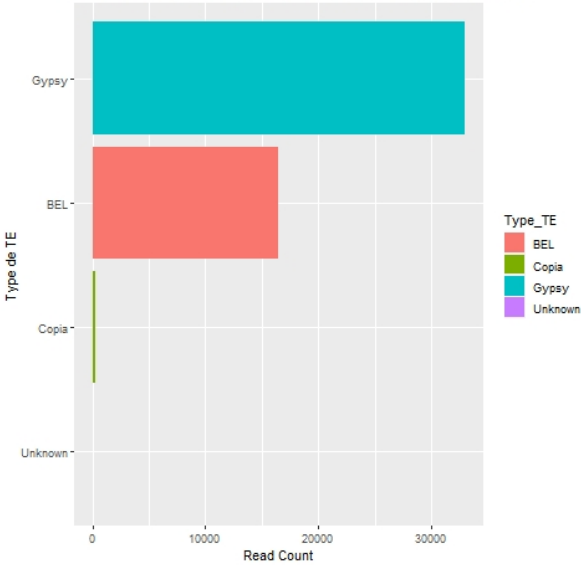
# LINE TE family



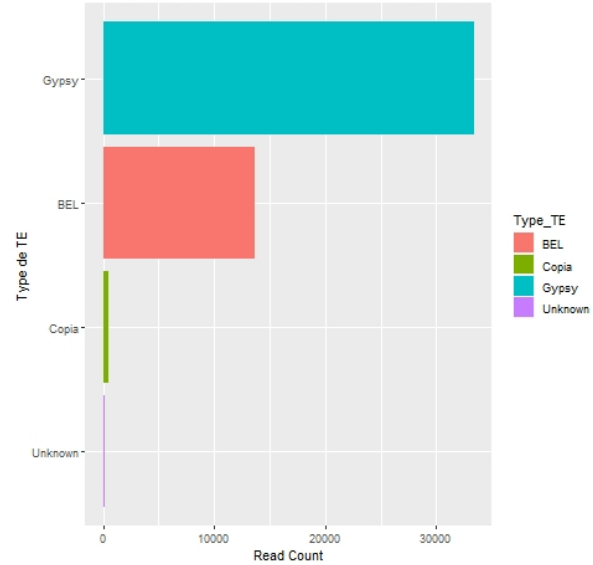
# LTR TE family



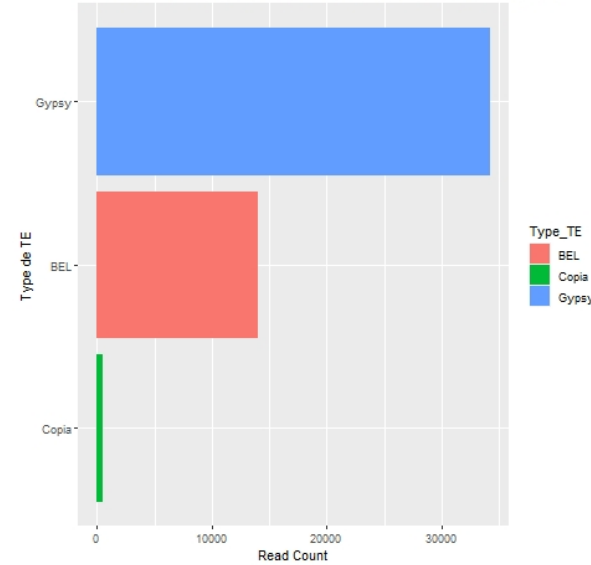
Abondance des TE de type LTR retrouvés dans l'échantillon G0



Abondance des TE de type LTR retrouvés dans l'échantillon Cerise



Abondance des TE de type LTR retrouvés dans l'échantillon Fraise



Abondance des TE de type LTR retrouvés dans l'échantillon Cranberry

